

05;06

©1995 г.

## ЭЛЕКТРОННЫЕ ПРОЦЕССЫ В ГЕТЕРОСТРУКТУРЕ *a*-WO<sub>3</sub>/Si ПРИ ЭЛЕКТРО- И ФОТОХРОМИЗМЕ

*E.A. Тутов, В.И. Кукуев, А.А. Баев, Е.Н. Бормонтов, Э.П. Домашевская*

Воронежский государственный университет,

394693, Воронеж, Россия

(Поступило в Редакцию 21 июня 1994 г.

В окончательной редакции 18 февраля 1995 г.)

Гетероструктура *a*-WO<sub>3</sub>/Si получена вакуумной конденсацией термически испаренного порошка тиоксида вольфрама на подложку *n*-Si в условиях, приводящих к формированию прозрачной пленки WO<sub>3</sub> (стехиометрической) и с центрами окраски (частично восстановленной). Для обоих типов структур измерены ВЧ ВФХ и исследовано влияние на зарядовые параметры гетероперехода наведения центров окраски в *a*-WO<sub>3</sub> при двойной инжекции в нее протонов и электронов и при УФ облучении с различной экспозицией. В структуре с пленкой WO<sub>3-x</sub> обнаружен моноэнергетический уровень быстрых поверхностных состояний, расположенный на 0.06 эВ ниже уровня Ферми в Si. Плотность состояний на этом уровне возрастает при электрохромизме и уменьшается при фотохромном процессе. Предложена структурно-энергетическая модель процесса окрашивания.

### Введение

Оксидные материалы с перовскитоподобной структурой отличаются широким разнообразием интересных свойств. Особенности атомного и электронного строения этих соединений, определяющие наблюдаемые в них явления и до сих пор не изученные в полной мере, в насыщенных оксидах переходных металлов с сочленением металлокислородных полизэдров по вершинам, обеспечивающим их максимальную подвижность, приводят к сильной зависимости свойств этих материалов от внешних воздействий, проявляющихся, в частности, как электро- и фотохромный эффекты.

Эти эффекты, представляющие очевидный практический интерес, наиболее ярко выражены в тонких пленках аморфного триоксида вольфрама (*a*-WO<sub>3</sub>) — основном объекте прикладных и фундаментальных исследований этих явлений и наиболее перспективном материале для создания полностью твердотельных пассивных дисплеев [1].

Тем не менее сложность явления обратимого наведения центров окраски в  $a\text{-WO}_3$  и термодинамическая неравновесность самого объекта исследований, равно как и недостаточная развитость теоретических и экспериментальных методик физики неупорядоченных систем, приводят к тому, что надежно установленными являются только наиболее общие закономерности процесса окрашивания, а о специфических особенностях электро-, фото- и термохромного процессов имеется разрозненная информация, не позволяющая воссоздать исчерпывающее полную картину этих явлений даже на феноменологическом уровне. Отсутствуют и общепринятые представления о структурно-энергетической модели центра окраски в  $a\text{-WO}_3$ .

Электрохромный дисплей является зарядовым прибором, и инжектированные в пленку  $a\text{-WO}_3$  в процессе окрашивания электроны локализуются на уровнях в запрещенной щели, поэтому изучение процессов переноса заряда в структуре  $a\text{-WO}_3/\text{Si}$  представляется достаточно актуальным, тем более что функциональные возможности этой структуры имеют самостоятельный интерес [2,3].

Кроме того, электрофизические методы исследования наиболее чувствительны к тонким электронным процессам, и в комплексе с традиционно широким применением методов рентгеноэлектронной [4,5] и оптической спектроскопии дают возможность получить наиболее детальную информацию о природе и механизме окрашивания в  $a\text{-WO}_3$ .

Известные исследования емкости МДП структуры с пленкой  $\text{WO}_3$  либо не ставили своей задачей изучение процесса окрашивания [6], либо были направлены на установление взаимосвязи зарядовых параметров с восстановлением триоксида вольфрама в вакууме (термохромизм) [7]. В последнем случае была выявлена качественная связь роста отрицательного поверхностного заряда и плотности поверхностных состояний с окрашиванием, причем картина была затушевана имевшим место структурным упорядочением пленки  $a\text{-WO}_3$ , даже если это и не фиксировалось рентгено- и электронографически.

В настоящей работе сообщается о результатах измерений емкости гетероструктуры  $a\text{-WO}_3/n\text{-Si}$  в зависимости от оптической плотности триоксида вольфрама при наведении центров окраски без термического воздействия, а именно при двойной инжекции электронов и протонов (электрохромизм) и УФ облучении (фотохромизм).

### Методика эксперимента

Аморфные пленки триоксида вольфрама получали методом термического испарения в режимах, описанных в работе [8]. При этом были получены как прозрачные пленки с составом, близким к стехиометрическому, так и частично восстановленные пленки ( $a\text{-WO}_{3-x}$ ), имеющие бледно-голубую окраску сразу после вакуумной конденсации. Последнее моделирует термохромный процесс, но без сопутствующего ему структурного упорядочения пленки, для предотвращения которого конденсация осуществлялась без специального подогрева подложки.

В качестве подложек использовали кремний  $n$ -типа марки КЭФ-4.5 ориентации (001) и полированные пластины плавленного кварца для контроля оптических характеристик пленок триоксида вольфрама.

В соответствии с работами [9,10] электрохромное окрашивание пленки  $a\text{-WO}_3$  проводили при внедрении в нее водорода, выделяющегося в реакции цинка с соляной кислотой, т. е. без специального приложения внешнего поля. Фотохромное окрашивание  $a\text{-WO}_3$  осуществляли при УФ облучении ртутной лампой с удельной мощностью  $\sim 0.1 \text{ Вт}/\text{см}^2$ . Окраска пленки стремилась к насыщению при времени облучения  $\sim 100$  мин.

Оптическая спектроскопия пленок  $a\text{-WO}_3$  проводилась, как в [8], концентрацию центров окраски оценивали по известной формуле Смакулы [11], толщину пленок  $a\text{-WO}_3$  варьировали в пределах 0.07–3.5 мкм.

ВЧ ВФХ измеряли на частоте 1 МГц при амплитуде тестового сигнала 25 мВ (измеритель иммитансов Е7-12) с компьютерной обработкой результатов по специальной программе. Металлический электрод — In-Ga эвтектика.

### Результаты эксперимента и их обсуждение

Изменение оптических характеристик пленок  $a\text{-WO}_3$  в результате УФ облучения различной длительности и в электрохромном процессе отражено на рис. 1. Концентрация центров окраски  $N_{cc}$  (рассчитанная с использованием значения силы осциллятора  $f = 0.3$  [11]) монотонно возрастает с ростом экспозиции УФ облучения и за время 100 мин достигает значения  $2.4 \cdot 10^{20} \text{ см}^{-3}$ , оставаясь примерно на порядок ниже значения  $N_{cc}$  в электрохромном процессе в соответствии с представлениями работы [11].

На рис. 2,3 представлены ВЧ ВФХ гетероструктуры  $a\text{-WO}_3/\text{Si}$  с соответствующими пленками триоксида вольфрама. Оценку величин поверхностного заряда  $Q_{ss}$  и плотности поверхностных состояний на границе раздела  $N_{ts}$  проводили в рамках модельных представлений о ВФХ МДП структуры, т. е. как и в работах [7,9].

$C-V$ -кривые структуры  $a\text{-WO}_3/\text{Si}$  с пленкой оксида, полученной в восстановительных условиях конденсации [8] и сразу имеющей бледно-голубую окраску ( $N_{cc} = 0.6 \cdot 10^{20} \text{ см}^{-3}$ ), заметно отличаются от струк-

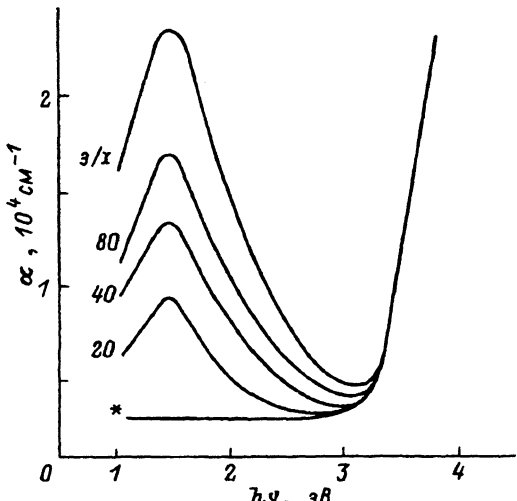


Рис. 1. Спектры оптического поглощения электро- и фотохромных пленок  $a\text{-WO}_3$ .

Здесь и далее цифры у кривых — время УФ облучения, мин; звездочкой отмечена кривая для исходной пленки.

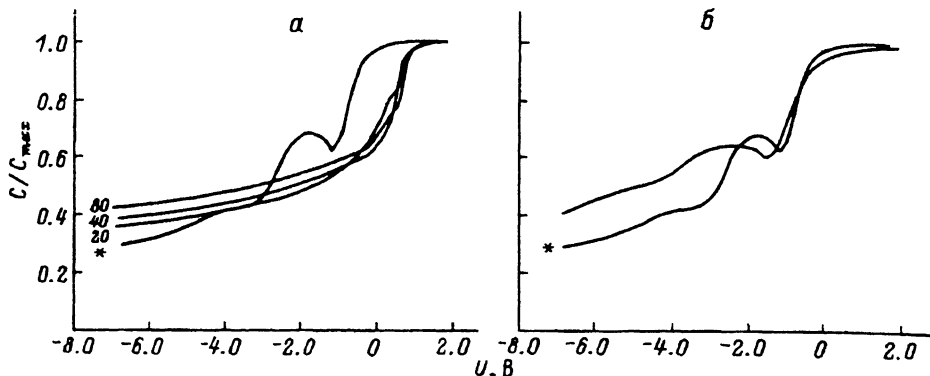


Рис. 2. Высокочастотные ВФХ гетероструктуры  $a\text{-WO}_{3-x}/\text{Si}$  при фотохромном (а) и электрохромном (б) процессах.

туры с неокрашенной пленкой, а именно они имеют выраженный максимум, соответствующий перезарядке моноэнергетического уровня быстрых поверхностных состояний, расположенного на границе раздела  $\sim$  на 0.06 эВ ниже уровня Ферми в Si ( $N_{ts} = 2 \cdot 10^3 \text{ см}^{-2}$ ), и еще один перегиб, выраженный значительно слабее.

В работе [7] этот уровень для структуры с термохромной пленкой  $a\text{-WO}_3$  не проявляется, как уже отмечалось, вследствие того, что процесс термовакуумного восстановления аморфного триоксида вольфрама сопровождается еще и упорядочением его атомного строения. Поэтому результаты данной работы позволяют наблюдать электронные процессы в центрах окраски, связанных только с восстановлением пленки  $a\text{-WO}_3$ .

Для структуры с неокрашенной пленкой (рис. 3) этот уровень отсутствует. Наведение центров окраски при фото- и электрохромном процессах приводит к ожидаемому увеличению поверхностного заряда, причем дополнительный поверхностный заряд на границе раздела в гетеропереходе  $a\text{-WO}_3/\text{Si}$  имеет отрицательный знак, что коррелирует с заполнением уровня электронных состояний в запрещенной щели  $a\text{-WO}_3$  при окрашивании, установленным РФЭС методом [9].

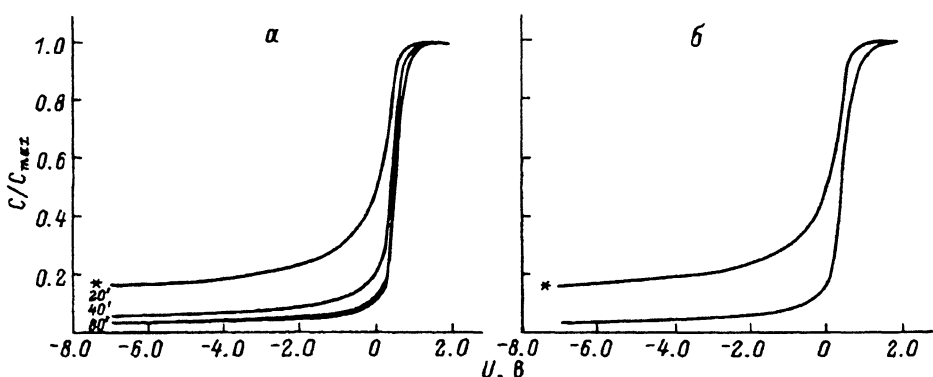


Рис. 3. Высокочастотные ВФХ гетероструктуры  $a\text{-WO}_3/\text{Si}$  при фотохромном (а) и электрохромном (б) процессах.

Структура	$\text{WO}_3-x/n\text{-Si}$ (восстановленный исходный оксид)				$\text{WO}_3/n\text{-Si}$ (стехиометрический исходный оксид)					
	УФ облучение время, мин				Двойная инжекция	УФ облучение время, мин				Двойная инжекция
	0	20	40	80		0	20	40	80	
$N_{cc}, 10^{20} \text{ см}^{-3}$	0.6	1.1	1.8	2.2	9.6	0	1.2	2.0	2.3	9.8
$\Delta Q_{ss}, 10^{11} \text{ см}^{-2}$	-	2.1	2.5	2.7	< 0.1	-	0.6	1.1	1.2	0.8

Для структуры с пленкой  $a\text{-}\text{WO}_3$ , полученной с центрами окраски ("термохромной"), влияние электро- и фотохромного процессов на ВФХ сложнее. При фотохромизме по мере увеличения дозы облучения происходит быстрое "сглаживание" максимума на  $C-V$ -кривой, т.е. первоначальный тип дефекта (центра окраски) "заличивается", сменяется или подавляется другими, характерными для фотохромного процесса. При электрохромизме (рис. 2) тенденция обратная ( $N_{ts}$  возрастает до  $4 \cdot 10^{13} \text{ см}^{-2}$ ). Еще одно отличие заключается в противоположном характере зависимости минимальной нормированной емкости от концентрации центров окраски по сравнению со случаем предыдущей структуре (рис. 2 и 3).

Таблица отражает связь изменения зарядовых параметров гетероструктуры  $a\text{-}\text{WO}_3/\text{Si}$  с изменением концентрации центров окраски в триоксиде вольфрама.

Таким образом, по крайней мере по проявлениям в электронных процессах, отражаемых ВЧ ВФХ структуры  $a\text{-}\text{WO}_3/\text{Si}$ , природа и механизм фотохромизма отличается от электро- и термохромного процессов, в то время как оптические [8] и рентгеноэлектронные [9] методы исследования в силу их меньшей чувствительности дают усредненную картину энергетического строения центров окраски различной природы. Энергетическое строение  $a\text{-}\text{WO}_3$  (по данным [9]) схематично иллюстрируется рис. 4.

Величина  $Q_{ss}$  имеет смысл "поверхностного" заряда, что специаль но подчеркивается в случае структур, состоящих из кристаллических (упорядоченных) материалов, для которых возникновение состояний в запрещенной щели связано с нарушением этой упорядоченности на границе раздела и появлением специфических поверхностных дефектов. В случае аморфных пленок триоксида вольфрама, электрохромный эффект в которых определяется именно поверхностными свойствами (или сильно развитой и активной внутренней поверхностью, когда поверхностные свойства характерны для всего объема пленки), величина "поверхностного" заряда в значительной степени отражает "объемные" свойства  $a\text{-}\text{WO}_3$ . Это подтверждается корреляцией между ростом  $Q_{ss}$  в гетероструктуре  $a\text{-}\text{WO}_3/\text{Si}$  и заполнением локализованных состояний в запрещенной щели  $a\text{-}\text{WO}_3$  с ростом концентрации центров окраски [9].

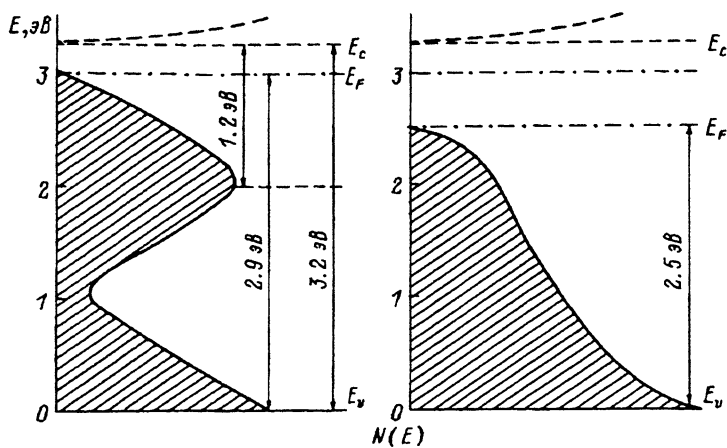


Рис. 4. Распределение плотности электронных состояний аморфных пленок триоксида вольфрама прозрачных (справа) и с центрами окраски (слева). Заштрихованы локализованные состояния:  $E_v$ ,  $E_c$  — пороги подвижности.

Общие черты в электронных процессах при окрашивании  $a\text{-WO}_3$  восстановлением в вакууме (как сразу в процессе конденсации, так и в термохромном процессе) и при инжекции в пленку водорода (в форме протона и с одновременным внедрением компенсирующего заряда электрона, т. е. в электрохромном процессе) дополняют данные о перестройке локального порядка при этих процессах, полученные методом электронографии [10] и также фиксирующие сходные изменения во второй координационной сфере.

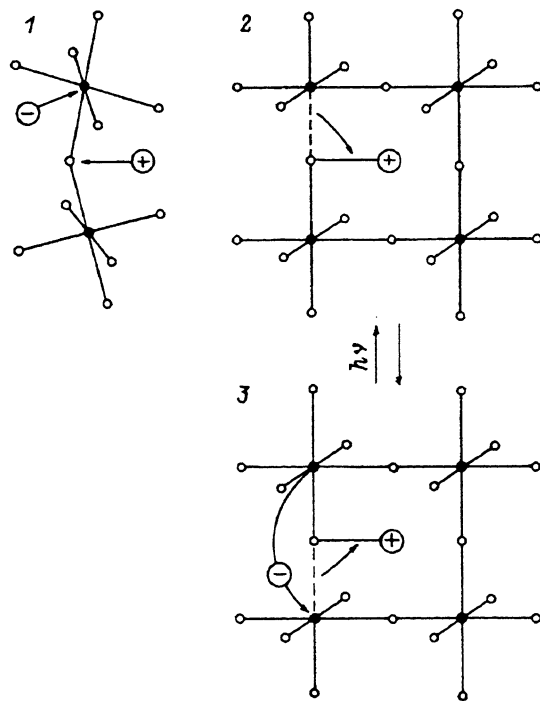


Рис. 5. Структурно-энергетическая модель процесса окрашивания  $a\text{-WO}_3$  при двойной инжекции электронов и протонов.

• — атомы вольфрама, о — атомы кислорода,  $\Theta$  — электрон,  $\oplus$  — протон.

Основываясь на представлениях о строении пленки  $a$ -WO<sub>3</sub><sup>[10]</sup>, данных о перераспределении электронной плотности при окрашивании<sup>[9]</sup> и результатах настоящей работы, структурно-энергетическая модель процесса окрашивания в стехиометрических слоях  $a$ -WO<sub>3</sub> при двойной инжекции электронов и протонов может быть представлена следующим образом (рис. 5): инжектированный в пленку  $a$ -WO<sub>3</sub> при окрашивании электрон попадает на незаполненную  $d$ -орбиталь вольфрама (1), приводя к уменьшению его заряда (положительного) и ионной составляющей связи W-O, а ион-компенсатор заряда (протон) локализуется в центре планарной группы из четырех соединенных вершинами WO<sub>6</sub> октаэдров (2). Образование связи O-H приводит к ослаблению связей W-O, а поглощение кванта света индуцирует переключение этих связей (3).

Схожая тенденция в изменении структуры и электронной конфигурации пленки  $a$ -WO<sub>3</sub> может иметь место и при появлении кислородных вакансий, однако картина должна выглядеть сложнее (что подтверждается работой<sup>[10]</sup>). Предложенный подход может быть обобщен и на фотохромный процесс в случае дополнения результатов работы<sup>[10]</sup> прямым электронографическим исследованием изменений локального порядка в  $a$ -WO<sub>3</sub> при фотохромизме.

### Заключение

Полученные с помощью метода ВЧ ВФХ данные о процессах переноса заряда в гетероструктуре  $a$ -WO<sub>3</sub>/Si при различных способах наведения центров окраски в слое триоксида вольфрама свидетельствуют в пользу установившихся представлений, согласно которым с химической точки зрения и термо-, и фото-, и электрохромизм приводят к частичному восстановлению WO<sub>3</sub> и появлению ионов вольфрама низшей степени окисления (что проявляется в относительном росте отрицательного поверхностного заряда в гетероструктуре с окрашенной пленкой WO<sub>3</sub>). За появление в триоксиде вольфрама полосы поглощения, вызывающей синюю окраску пленки, отвечает фотоиндуцированный переход электрона между соседними ионами вольфрама различной степени окисления (рис. 5). Пленка триоксида вольфрама обеспечивает пространственное и энергетическое разделение инжектированных электронов и катионов.

Тенденция относительного увеличения отрицательного заряда в гетероструктуре  $a$ -WO<sub>3</sub>/Si при фото- и электрохромизме та же, что и для ранее изученного термохромного процесса, однако фотохромный эффект в  $a$ -WO<sub>3</sub> имеет отличительные особенности. Предлагаемая в<sup>[11]</sup> для его объяснения модель фотоинжекции водорода предполагает несколько последовательных реакций, приводящих к образованию центра окраски. Часть происходящих при этих реакциях процессов приводит, по-видимому, к подавлению альтернативных механизмов возникновения центров окраски в  $a$ -WO<sub>3</sub> (что было обнаружено в ВФХ), чем объясняется известный факт более низких концентраций центров окраски при фотохромизме.

Отметим в заключение, что перспективы практического использования гетероструктуры WO<sub>3</sub>/Si не исчерпываются указанными в работах<sup>[2,3]</sup> возможностями, тем более что интерес к МДП структурам с неидеальным диэлектриком в последнее время заметно возрос.

## Список литературы

- [1] Donnadieu A. // Mater. Sci. and Eng. B. 1989. Vol. 3. N 1-2. P. 185-195.
  - [2] Галымов Б.Ш., Обвинцева И.Е., Рогинская Ю.Е. // Письма в ЖТФ. 1988. Т. 14. Вып. 3. С. 253-256.
  - [3] Галымов Б.Ш., Обвинцева И.Е., Рогинская Ю.Е., Яновская М.И. // Письма в ЖТФ. 1989. Т. 15. Вып. 2. С. 74-77.
  - [4] Hollinger G., Duc T.M., Deneuville A. // Phys. Rev. Lett. 1976. Vol. 37. N 23. P. 1564-1567.
  - [5] Кукеев V.I., Komolova L.F., Lesouou M.V., Tomashpolsky Yu.Ya. // J. Microsc. Spectr. Electron. 1989. Vol. 14. P. 471-485.
  - [6] Пундур П.А., Даугуль В.Д., Лусис А.Р. // ЖТФ. 1985. Т. 55. Вып. 5. С. 964-967.
  - [7] Кукеев В.И., Тутов Е.А., Домашевская Э.П. и др. // ЖТФ. 1987. Т. 57. Вып. 10. С. 1957-1961.
  - [8] Кукеев В.И., Тутов Е.А., Солодуха А.М. и др. // Электронная техника. Сер. 6 (Материалы). 1985. № 6. С. 3-6.
  - [9] Кукеев В.И., Тутов Е.А., Лесовой М.В. и др. // Поверхность. Физика, химия, механика. 1988. № 11. С. 87-92.
  - [10] Кукеев В.И., Тутов Е.А., Лесовой М.В., Домашевская Э.П. // Кристаллография. 1988. Т. 33. № 6. С. 1551-1552.
  - [11] Гаврилюк А.И., Секущин Н.А. // ЖТФ. 1989. Т. 15. Вып. 2. С. 74-77. Электрохромизм и фотохромизм в оксидах вольфрама и молибдена. Л.: Наука, 1990. 104 с.
-